

## (145) 連鉄パウダーのプール厚、消費量に及ぼす鋳造条件の影響

—連続鋳造におけるパウダー技術に関する研究(第10報)—

新日本製鐵㈱ 第二技術研究所 ○長野 裕 小山邦夫 中野武人  
 君津技術研究部 向井達夫 名古屋技術研究部 小舞忠信  
 八幡製鐵所 金子信義

## 1. 緒言

連鉄でのブレーキアウトや鉄片表面欠陥を防止するには、パウダーの溶融、流入挙動を明らかにし、鋳造条件に適したパウダー設計を行なう必要がある。今回スラブおよびブルームCCで、パウダープール厚および消費量に対するパウダー条件、鋳造条件の影響を調査した。

## 2. 実験方法

鋳造条件をTable.1に示す。

Table.1 Casting conditions

プール厚P(mm)：溶接用マイクロワイヤをパウダーレンジに挿入したときの溶融パウダー付着長。

パウダー溶融速度指標F(%)：ラボでパウダー所定量を所定加熱したときの溶融量比。

パウダー消費原単位W(kg/T)：チャージ単位で消費量を算定。

## 3. 実験結果

1) プール厚：プール厚Pは溶融速度と消費速度のバランスできまると考えられるが、Fig.1にみられるように実機での溶融速度にはラボでの溶融速度指標Fに加えてプール体積要素Pabが関係している( $\rho_m$ :溶鋼比重)。

$$\frac{F}{Pab} \propto \frac{WabV_c \rho_m}{ab} \quad \therefore P = \frac{\alpha F}{abV_c W} \quad \dots \dots \dots (1)$$

すなわちプール体積が大きいほど、伝熱・振動などの面から溶融が抑制されると考えられる。

2) 消費量：鉄片表面積当りの消費量Q(kg/m<sup>2</sup>) =  $\frac{ab\rho_m W}{2(a+b)}$ はFig.2にみられるように $\eta V_c$ に反比例する。

$$Q = \frac{\beta}{\eta V_c} \quad \dots \dots \dots (2)$$

これから $\eta$ については重力流入が、 $V_c$ については流入間隙の $V_c$ 依存性が推定されるが、詳細は今後検討の要がある。

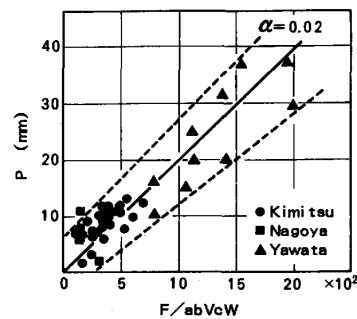
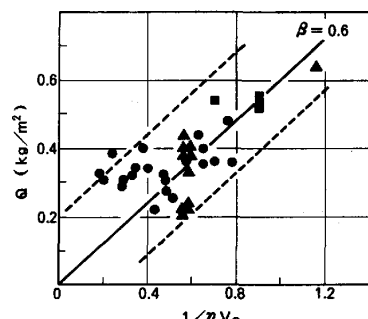
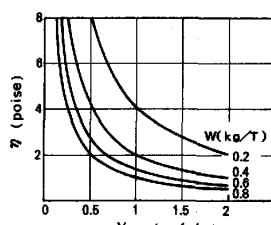
(2)式から鋳造サイズ210×1400mmの場合について $\eta$ 、 $V_c$ とWの関係を求め、Fig.3に示す。前報の $\eta V_c$ 適正範囲<sup>1)</sup>は、従来知られている適正消費原単位によく対応し、消費量は過小でも过大でも不適であることがわかる。

## 4. 結言

パウダーのプール厚、消費量に影響する諸因子の関係式を明らかにした。この式から逆に適正プール厚、消費量を得るためのパウダー条件F、 $\eta$ を求めることができる。

文献 1) 中野ら：鉄と鋼、69(1983)12, S1036

CCM	Casting size a×b (mm)	Casting speed $V_c$ (m/min)	Powder viscosity $\eta$ (poise at 1900°C)
Kimitsu No2CC	210×1200~1400	1.1~1.8	1.1~3.6
Nagoya No1CC	245×1400	1.0~1.3	1.1
Yawata BloomCC	290×290	0.7~0.9	1.1~2.3

Fig.1 Relation between pool thickness and  $F/abV_c W$ Fig.2 Relation between powder consumption and  $1/\eta V_c$ Fig.3 Relation between  $\eta$ 、 $V_c$  and powder consumption